

НЕЛИНЕЙНЫЕ ВЗАИМОДЕЙСТВИЯ ОДНОМЕРНЫХ  
УПРУГОПЛАСТИЧЕСКИХ ВОЛН

Н. А. ЕСЕНИНА

(Ленинград)

Методом конечных разностей решается задача о нелинейном взаимодействии одномерных упругопластических волн в средах, описываемых диаграммой  $\sigma$ - $\varepsilon$  произвольного вида. Исследуется влияние свойств среды и форм взаимодействующих волн на суммарные движения точек среды. В частном случае столкновения волн одинаковой формы и интенсивности рассмотрено влияние свойств среды на коэффициенты отражения упругопластических волн от жесткой стенки.

1. Рассмотрим однородный упругопластический стержень конечной длины  $L$ . Исследование проводим в безразмерных переменных  $x, t, \sigma, v$ , которые вводим по формулам

$$\sigma = \frac{\sigma_x}{\rho_0 a_0^2}, \quad v = \frac{v_x}{a_0}, \quad x = \frac{X}{a_0 \tau}, \quad t = \frac{T}{\tau}, \quad l = \frac{L}{a_0 \tau}, \quad a_0 = \sqrt{\frac{1}{\rho_0} \frac{d\sigma_x}{d\varepsilon}}$$

где  $\tau$  — характерное время действия нагрузки,  $\rho_0$  — начальная плотность материала,  $a_0$  — скорость распространения возмущений. Считаем, что напряжения при сжатии положительны.

В этих переменных уравнения движения и неразрывности стержня имеют вид

$$(1.1) \quad v_t + \sigma_x = 0, \quad v_x + \varepsilon'(\sigma) \sigma_t = 0$$

В начальный момент времени стержень находится в состоянии покоя

$$(1.2) \quad \sigma(x, 0) = v(x, 0) = 0$$

На концах его заданы напряжения как функции времени

$$(1.3) \quad \sigma(0, t) = \beta_0(t), \quad \sigma(l, t) = \beta_1(t)$$

Уравнение состояния стержня задаем в виде

$$(1.4) \quad \varepsilon = \begin{cases} k^{-1} \sigma + (k-1) k^{-1} \sigma_s^{k+1} & (\sigma_m \leq \sigma \leq \sigma_s) \\ \sigma^n + c_1 & (\sigma_s \leq \sigma_m \leq \sigma) \\ \sigma_m^n + c_1 + \varepsilon_p'(\sigma - \sigma_m) & (\sigma < \sigma_m) \end{cases}$$

$$c_1 = k^{-1} \sigma_s + (k-1) k^{-1} \sigma_s^{k+1} - \sigma_s^n, \quad \sigma_m = \sup \{ \max \sigma(t') \} \quad (0 \leq t' \leq t)$$

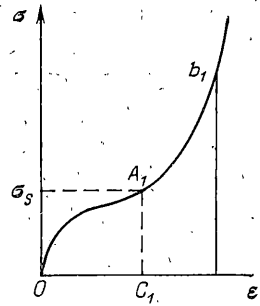
Эта диаграмма  $\sigma$ - $\varepsilon$  представлена на фиг. 1. Здесь точка  $A_1$  является точкой излома нагрузочной ветви, нелинейность выпуклого  $OA_1$  и вогнутого  $A_1B_1$  участков характеризуют параметры  $k$  и  $n$  соответственно.

При  $\sigma_s=0$  нагрузочная ветвь задается либо в виде  $\varepsilon=k^{-1}\sigma+(k-1)k^{-1}\sigma^{n+1}$  (при  $k>1$  это будут диаграммы, выпуклые к оси  $\sigma$ ), либо в виде  $\varepsilon=\sigma^n$  (при  $0<n<1$  это будут диаграммы  $\sigma$ - $\varepsilon$ , выпуклые к оси  $\varepsilon$ ). Параметр  $\varepsilon_p'$  характеризует наклон разгрузочной ветви: При  $\varepsilon_p'=0$  разгрузка материала происходит при постоянной плотности.

Систему уравнений с начальными и граничными условиями (1.1)–(1.4) решаем методом конечных разностей по неявной схеме [4]. Исследуем влияние свойств среды и форм взаимодействующих волн на суммарные движения точек среды. В дальнейшем на графиках нижний индекс у зависимостей  $\sigma(t)$ ,  $v(t)$  будет обозначать сечение, для которого они построены.

2. Пусть  $\beta_0(t)=\beta_1(t)$ . В этом случае в стержне произойдет столкновение двух волн одинаковой формы и интенсивности, которое можно рассматривать как отражение одной из волн от жесткой стенки, расположенной в месте их столкновения.

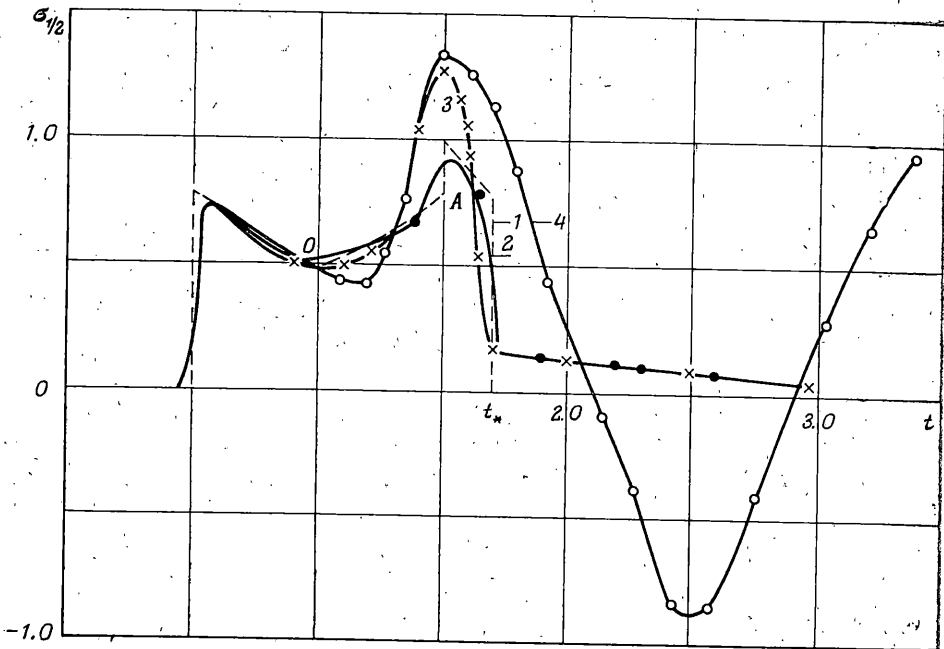
Точность получаемого решения проверим на следующей модельной задаче об отражении упругопластической волны от жесткой стенки. Полагаяем  $\beta_0(t)=\beta_1(t)=e^{-t}$ ,  $\sigma_s=0$ ,  $n=1$ ,  $\varepsilon_p'=0$ . Согласно [2] решение этой задачи сводится к уравнению



Фиг. 1

$$\frac{dv_-^2}{dt} = \frac{e^{-t}}{2-t} - \frac{1}{(2-t)^2} + \frac{e^{-(2-t)}}{(2-t)^2} \quad (1 \leq t < 2)$$

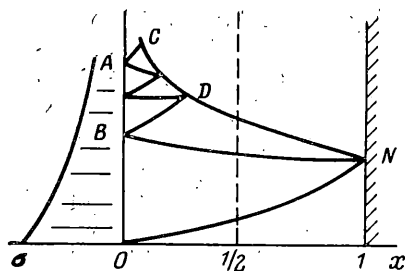
где  $v_-$  — скорость перед фронтом отраженной ударной волны.



Фиг. 2

Сравнение аналитического решения с численным приведено на фиг. 2, кривые 1 и 2 соответственно. Отсюда видим, что численное решение достаточно точно воспроизводит сложную волновую картину отражения упругопластических волн от жесткой стенки. Например, такие детали поля, как предвестник  $OA$ , на котором происходит догружение среды, и момент истощения отраженной волны  $t_*$  [2]. Погрешность в определении максимальных напряжений составляет при этом  $\sim 5\%$ .

Исследуем влияние параметров  $\sigma_s$ ,  $n$ ,  $k$ ,  $\epsilon_p'$  на результаты отражения волн. Пусть  $\sigma_s=0$ ,  $n=1/2$ ,  $\epsilon_p'=0.2$ . Волновая картина отражения в этом случае по сравнению со случаем  $\epsilon_p'=0$  весьма усложнится за счет области  $ABDC$  (фиг. 3), в которой происходит



Фиг. 3

многократное взаимодействие предвестника  $NB$  со свободной поверхностью и ударной волной  $ND$ . Как показывают расчеты, качественные изменения, вызванные наличием этой области, заключаются в том, что здесь уже не происходит истощения отраженной волны  $ND$  до момента выхода ее на свободную поверхность. Взаимодействие волны  $ND$  с поверхностью  $x=0$  приводит к образованию волны, распространяющейся по стержню со скоростью  $a_p=(\epsilon_p')^{-0.5}$ . Эти отличия довольно четко видны при сравнении кривых 3 и 4 (фиг. 2), построенных соответственно для  $\epsilon_p'=0, 0.2$ . Дальнейшие расчеты проводим в предположении, что материал не может выдерживать растягивающих напряжений, т. е.

$$(2.1) \quad \sigma(x, t) = 0 \quad \text{если} \quad \sigma(x, t) < 0$$

Для среды, характеризующейся жесткой разгрузкой  $\epsilon_p'=0$ , варьируем основные параметры ветви нагружения  $\sigma_s$ ,  $n$ ,  $k$ . Зависимости  $\sigma_{1/2}(t)$  для разных параметров представлены на фиг. 4, где кривые 1–5 соответствуют значениям:  $\sigma_s=0$ ,  $k=8$  (кривая 1);  $\sigma_s=0$ ,  $k=2$  (кривая 2);  $\sigma_s=0$ ,  $n=1$  (кривая 3);  $\sigma_s=0$ ,  $n=1/2$  (кривая 4);  $\sigma_s=0.3$ ,  $k=4$ ,  $n=1/2$  (кривая 5).

Как видно, при отражении от жесткой стенки центрированных волн Римана (кривые 1, 2) отраженные волны дойдут до свободной поверхности. В результате взаимодействия с ней и в силу выполнения условия (2.1) напряжение в стержне в моменты времени  $t_1$  и  $t_2$  становится равным нулю. Затем, наличие начального участка кривой  $\sigma(\epsilon)$  ( $\sigma_s \neq 0$ ) приводит к значительному снижению максимальных напряжений в отраженной волне по сравнению со случаем  $\sigma_s=0$  (кривые 5 и 4 фиг. 4).

Рассмотрим влияние параметров  $\sigma_s$ ,  $k$ ,  $n$  на коэффициенты отражения упругопластических волн от жесткой стенки, которые определим как отношение  $K^\circ = \sigma_r \sigma_p^{-1}$ , где  $\sigma_r$  — максимальное напряжение в отраженной волне,  $\sigma_p$  — максимальное напряжение в падающей волне.

Ниже приведены результаты расчетов  $K^\circ$  для разных значений  $\sigma_s$ ,  $k$  и  $n$

$K^\circ=2.6$	2.5	2.2	2.6	2.1	( $n=0.5$ )
$K^\circ=3.6$	2.9	2.4	3.4	2.4	( $n=0.25$ )
$\sigma_s=0$	0.3	0.3	0.6	0.6	
$k=$	1	4	1	4	

Как видно, наличие начального участка  $\sigma_s \neq 0$  диаграммы  $\sigma-\epsilon$ , особенно его нелинейности  $k \neq 1$ , приводит к уменьшению  $K^\circ$  по сравнению со слу-

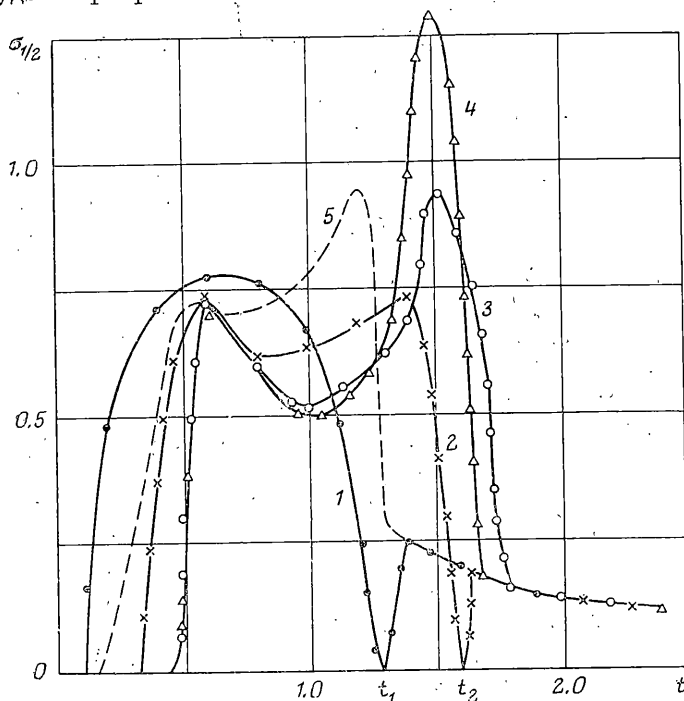
чаем вогнутых диаграмм. Причем для некоторых соотношений между  $\max \sigma(0, t)$ ,  $\sigma_s$ ,  $k$  и  $n$  это уменьшение может быть весьма существенным.

3. Рассмотрим далее наиболее типичные случаи несимметричного сжатия упругопластического стержня, когда  $\beta_0(t) \neq \beta_1(t)$ .

Зададим внешнюю нагрузку в виде

$$(3.1) \quad \beta_1(t) = e^{-t}, \quad \beta_0(t) = \begin{cases} ct/t_n & (t \leq t_n) \\ ce^{-(t-t_n)} & (t > t_n, t_n \neq 0) \end{cases}$$

При  $t_n=0$ ,  $\beta_0(t) = ce^{-t}$ , когда  $c=1$ , имеем случай, рассмотренный в п. 2. Состояние среды описываем уравнением (1.4). Параметры  $k$  и  $n$  в процессе счета будем варьировать.

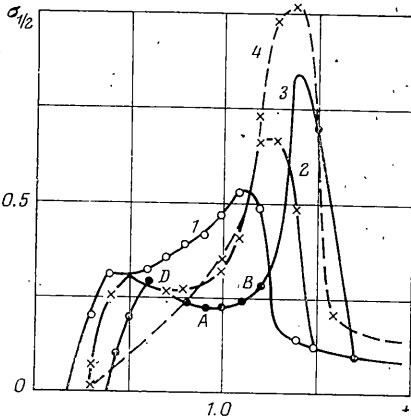


Фиг. 4

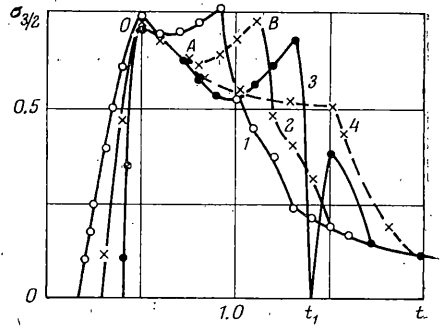
Пусть теперь  $c=0.4$ . В этом случае произойдет столкновение ударной волны, распространяющейся от поверхности  $x=2$  в направлении, противоположном оси  $x$  с центрированной волной Римана, если  $t_n=0$ , или с расходящейся волной Римана, когда  $t_n \neq 0$ .

Фиксируя  $n=0.5$ , будем варьировать параметры  $k$  и  $t_n$ , которые характеризуют соответственно нелинейность начального участка диаграммы и время нарастания внешней нагрузки до максимума. Результаты расчетов для значений  $k=4, 2, 1$  (кривые 1-3) при  $t_n=0$  приведены на фиг. 5, 6, где представлены зависимости  $\sigma_{1/2}(t)$ ,  $\sigma_{3/2}(t)$ . Первый максимум на этих кривых соответствует максимальному напряжению в падающих волнах, а второй — максимальному напряжению в отраженных волнах, которые образуются при столкновении.

Отметим, что увеличение нелинейности приводит к значительному уменьшению напряжения в отраженной волне в сечении  $x=1/2$ . Поэтому при  $k \neq 1$  максимальные напряжения наблюдаются в сечении  $x=3/2$ , а при



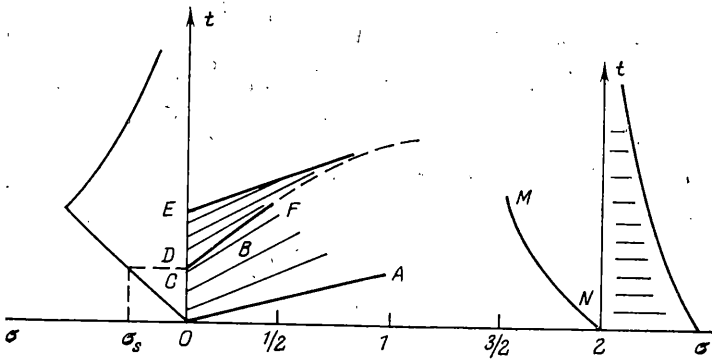
Фиг. 5



Фиг. 6

$k=1$  — в сечении  $x=1/2$ . Отметим также, что с увеличением нелинейности уменьшается время, в течение которого происходит разгрузка и вторичное догружение материала, т. е. уменьшается область  $OAB$  на фиг. 5, 6. Например, при  $k=4$  в сечении  $x=1/2$  (фиг. 5) эта область практически отсутствует. После прохождения падающей волны в этом сечении не происходит разгрузки материала. Кроме того, при  $k \neq 1$  отраженная волна в сечении  $x=3/2$  истощается до момента выхода на поверхность  $x=2$ . В случае же  $k=1$  отраженная волна в момент времени  $t=t_1$  доходит до поверхности  $x=2$  и взаимодействует с нею.

Влияние времени нарастания на столкновение волн видно при сравнении кривых 4 и 2 (фиг. 5, 6). Кривая 4 здесь соответствует случаю  $k=2$ ,

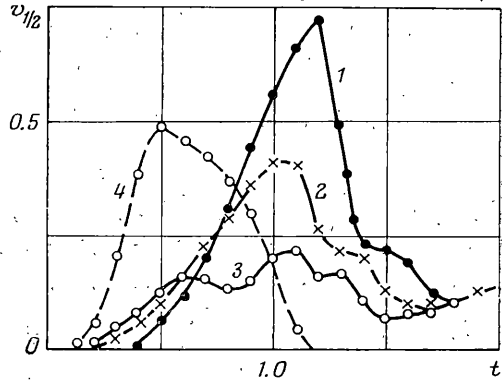


Фиг. 7

$t_n=1$ . Как видно, столкновение с расходящейся волной Римана приводит к исчезновению отраженной волны в сечении  $x=3/2$ . В этом сечении после прохождения падающей волны частицы будут постоянно находиться в стадии разгрузки.

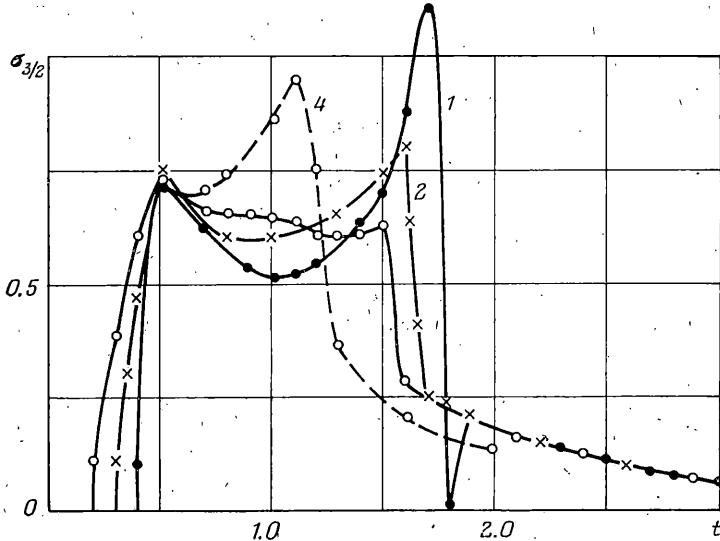
4. Положим теперь  $t_n=c=1$ . В этом случае ударная волна  $NM$  (фиг. 7) сталкивается со сложной системой характеристик. Система характеристик состоит из расходящейся волны Римана  $OABC$  и следующей за ней системы сходящихся характеристик  $DEF$ , пересечение которых приводит к образованию сильного разрыва.

Исследуем влияние нелинейности начального участка диаграммы на столкновение волн. Результаты расчетов для значений  $k=1, 2, 4$  (кривые 1–3) представлены в виде зависимостей  $v_{1/2}(t)$  и  $\sigma_{3/2}(t)$  на фиг. 8, 9. Увеличение нелинейности приводит к значительному уменьшению смещений и максимальных скоростей в сечении  $x=1/2$ . В сечении  $x=3/2$  с ростом  $k$  уменьшается максимальное значение напряжения в отраженной волне. В частности, при  $k=4$  отраженная волна в этом сечении отсутствует.



Фиг. 8

Кривая 4 здесь соответствует случаю  $t_n=0, k=4$ . Сравнение кривых 3 и 4 показывает, что увеличение времени нарастания внешней нагрузки до максимума здесь аналогично по своему действию нелинейности начального



Фиг. 9

участка диаграммы, т. е. уменьшает максимальную скорость в сечении  $x=1/2$  и приводит к исчезновению отраженной волны в сечении  $x=3/2$ . Кроме того, при  $t_n \neq 0$  движение частицы в сечении  $x=1/2$  имеет более резкий характер, чем при  $t_n=0$ .

Поступила 3 X 1973.

#### ЛИТЕРАТУРА

1. Есенина Н. А. Конечно-разностные методы для решения одномерных упругопластических задач. Изв. АН СССР, МГТ, 1973, № 1.
2. Зволинский Н. В. Отражение и преломление плоской пластической волны при наличии граничной плоскости. ПИММ, 1967, т. 31, вып. 5.